

УДК 629.78 : 681.51

НАВЕДЕНИЕ И УПРАВЛЕНИЕ КОСМИЧЕСКИМ РОБОТОМ ПРИ ВИЗУАЛЬНОЙ ИНСПЕКЦИИ СОСТОЯНИЯ ГЕОСТАЦИОНАРНОГО СПУТНИКА

© 2020 Е.И. Сомов^{1,2}, С.А. Бутырин^{1,2}, С.Е. Сомов^{1,2}, Т.Е. Сомова²

¹ Самарский федеральный исследовательский центр Российской академии наук

² Самарский государственный технический университет

Статья поступила в редакцию 06.04.2020

Рассматриваются вопросы наведения и управления космическим роботом при визуальной инспекции состояния информационного геостационарного спутника. В системе управления движением робота применяются двигательная установка с 8 реактивными двигателями при широтно-импульсной модуляции их тяги и силовой гироскопический кластер на основе 4 гиродинов с цифровым управлением. Приводятся численные результаты, демонстрирующие эффективность разработанных алгоритмов наведения и управления.

Ключевые слова: космический робот, геостационарный спутник, мониторинг состояния, наведение, управление

DOI: 10.37313/1990-5378-2020-22-2-132-137

Работа поддержана РФФИ, грант 20-08-00779.

ВВЕДЕНИЕ

Информационные спутники на геостационарной орбите (ГСО) имеют потребную длительность службы до 25 лет при наличии технического обслуживания с помощью космических роботов-манипуляторов (КРМ), в частности дозаправки топливом их электрореактивных двигательных установок. Предшествующая статья авторов [1] в этом же выпуске журнала содержит выбор отечественных реактивных двигательных установок (РДУ) для выведения КРМ по комбинированной схеме на ГСО и электромеханических приводов системы управления движением (СУД) КРМ для его сближения с целью (геостационарным спутником) от расстояния 500 м до дальности 100 м на интервале времени $t \in [1637, 2185]$ с, синтезированные алгоритмы

Евгений Иванович Сомов, ведущий научный сотрудник отдела «Динамики и управления движением» СамНЦ РАН; начальник отдела «Навигации, наведения и управления движением» НИИ Проблем надежности механических систем СамГТУ, E-mail e_somov@mail.ru
Сергей Анфимович Бутырин, старший научный сотрудник отдела «Динамики и управления движением» СамНЦ РАН; начальник лаборатории «Моделирования систем управления» НИИ Проблем надежности механических систем СамГТУ, E-mail butyrinsa@mail.ru
Сергей Евгеньевич Сомов, научный сотрудник отдела «Динамики и управления движением» СамНЦ РАН; научный сотрудник отдела «Навигации, наведения и управления движением» НИИ Проблем надежности механических систем СамГТУ. E-mail s_somov@mail.ru
Татьяна Евгеньевна Сомова, научный сотрудник отдела «Навигации, наведения и управления движением» НИИ Проблем надежности механических систем СамГТУ. E-mail te_somova@mail.ru

наведения и управления, а также результаты нелинейного анализа динамики СУД при таком сближении.

В данной статье рассматривается маневрирование КРМ в окрестности цели на расстоянии 80–120 м при визуальной инспекции её состояния с последовательным наблюдением из 6 точек в порядке возрастания их номеров с зависимием в каждой точке относительно цели на 5 минут, рис. 1а .

ПОСТАНОВКА ЗАДАЧИ

Модели движения КРМ, состав СУД, используемые алгоритмы наведения и управления детально представлены в [1], поэтому здесь приводятся только необходимая информация. Применяется геоцентрическая инерциальная система координат (ИСК) I_{\oplus} с началом в центре Земли O_{\oplus} и общепринятые обозначения $\{\cdot\} = \text{col}(\cdot)$, (\cdot) и \circ , $\widetilde{\cdot}$ для векторов, матриц и кватернионов, а также матрицы $[\alpha]_i$ элементарного поворота вокруг i -ой оси на угол α , $i = 1, 2, 3 \equiv 1 \div 3$. Используются Гринвичская система координат (ГСК) G_{\oplus} , связанная с Землей, орбитальные системы координат (ОСК) $O_r x^0 y^0 z^0$ КРМ с началом в его полюсе O_r и цели $O_t x_t^0 y_t^0 z_t^0$ с началом в её полюсе O_t , а также связанная с корпусом КРМ система координат (ССК) O_{rxyz} .

Предполагается, что на борту КРМ имеется наблюдательный инструмент (телескоп), ось визирования которого параллельна оси $O_{r,y}$ ССК робота, см. рис. 1. Как и в статье [1], приводами СУД являются: 1) РДУ на основе восьми реактив-

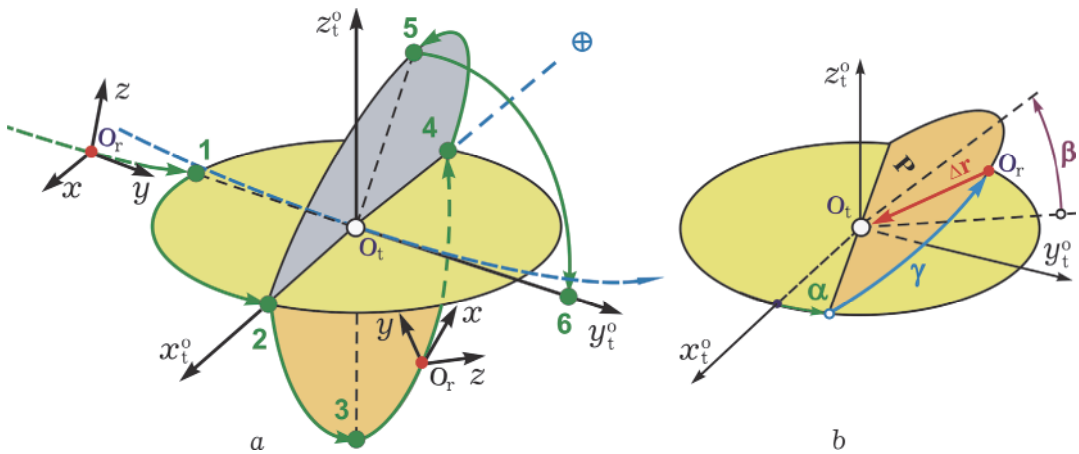


Рис. 1. Схема перелётов КРМ при визуальной инспекции состояния геостационарного спутника

ных двигателей по симметричной схеме при широтно-импульсной модуляции значений тяги 25 Н каждого двигателя с периодом $T_u^e = 4$ с, что позволяет одновременно создавать векторы импульсов силы и момента произвольного направления в ССК робота; 2) силовой гироскопический кластер (СГК) на основе четырёх гиродинов с собственным кинетическим моментом (КМ) $h_g = 100$ Нмс и цифровым управлением с периодом $T_u = 0.25$ с.

Если считать КРМ твёрдым телом с массой m и тензором инерции \mathbf{J} , то при стандартных обозначениях модель его пространственного движения в проекции на оси ССК O_rxyz имеет вид

$$\dot{\mathbf{r}}^* + \boldsymbol{\omega} \times \mathbf{r} = \mathbf{v}; \quad m(\mathbf{v}^* + \boldsymbol{\omega} \times \mathbf{v}) = \mathbf{P}^e + \mathbf{F}^d;$$

$$\dot{\Lambda} = \Lambda \circ \boldsymbol{\omega} / 2; \quad \mathbf{J} \dot{\boldsymbol{\omega}} + \boldsymbol{\omega} \times \mathbf{G} = \mathbf{M}^g + \mathbf{M}^e + \mathbf{T}^d.$$

Здесь кватернион $\Lambda = (\lambda_0, \boldsymbol{\lambda})$ с вектором $\boldsymbol{\lambda} = \{\lambda_i\}$ представляет ориентацию КРМ в ИСК; $\mathbf{G} = \mathbf{J}\boldsymbol{\omega} + \mathbf{H}$ является вектором КМ механической системы, где \mathbf{H} – вектор кинетического момента СГК; векторы \mathbf{P}^e , \mathbf{M}^e и $\mathbf{M}^g \equiv -\mathbf{H}^*$ представляют соответственно управляющие силы РДУ, моменты РДУ и СГК, векторы \mathbf{F}^d и \mathbf{T}^d – внешние возмущающие силы и моменты, а также используется символ $(\cdot)^*$ локальной производной по времени. Применяемые дискретные алгоритмы широтно-импульсного и цифрового управления детально представлены в [1].

В статье решаются две задачи: 1) синтез алгоритмов наведения КРМ в процессе инспекционного облёта геостационарного спутника с последовательным наблюдением его состоя-

ния из 6 точек с заданных расстояний; 2) анализ динамики СУД робота с массой $m \approx 3000$ кг при таком облёте.

ЗАКОНЫ НАВЕДЕНИЯ РОБОТА ПРИ ПОСЛЕДОВАТЕЛЬНОМ ОБЗОРЕ ЦЕЛИ

В ОСК цели перемещение КРМ между наблюдениями задаётся плоскостью P , положение которой назначается фиксированными углами α и β на рис. 1 b , и расположением полюса O_r . КРМ в этой плоскости, которое определяется углом $\gamma(t)$ и модулем $s(t) = \Delta r(t)$ вектора $\mathbf{s}(t) = -\Delta \mathbf{r}(t)$. рис. 1 b . Задача пространственного наведения КРМ состоит в программном расположении $\mathbf{s}^p(t) = -\Delta \mathbf{r}^p(t)$ полюса O_r КРМ в плоскости P ОСК цели и в программной ориентации оси O_rz ССК робота направлена по нормали к плоскости перемещения его полюса O_r .

Пусть номер $j = 1 \div 5$ перелёта (перехода) между точками инспекции соответствует точке завершения предыдущего наблюдения, см. рис. 1 a . Временная диаграмма перелётов КРМ приведена на рис. 2, где переходы КРМ между точками наблюдения отмечены синим цветом, а участки наблюдения, где КРМ стабилизируется в ОСК цели, – зеленым цветом. В верхней части диаграммы указано текущее время, а в нижней части – длительности наблюдения. Здесь длительность j -го перелёта принята одинаковой $T_j = 400$ с $\forall j = 1 \div 5$, также как и длительность 300 с (5 минут) наблюдения геостационарного спутника из каждой точки, см. рис. 1 a и 2.

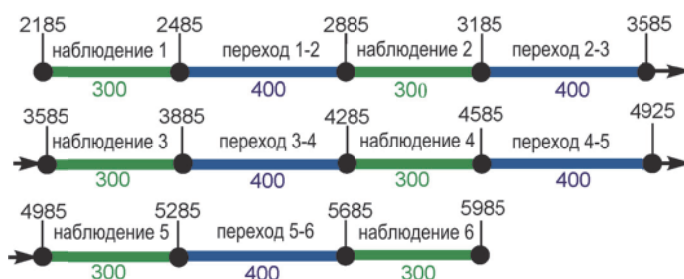


Рис. 2. Временная диаграмма перелётов КРМ и наблюдений состояния спутника

Таблица 1. Параметры перелётов КРМ

j	α_j , град	β_j , град	γ_i^p , град	γ_f^p , град	s_i^p , м	s_f^p , м
1	0	0	-90	0	100	100
2	0	-90	0	90	100	100
3	0	-90	90	180	100	100
4	0	70	180	90	100	80
5	90	90	70	0	80	120

Заданные кинематические параметры для имитации перелётов КРМ при последовательной визуальной инспекции состояния спутника на ГСО приведены в таб. 1.

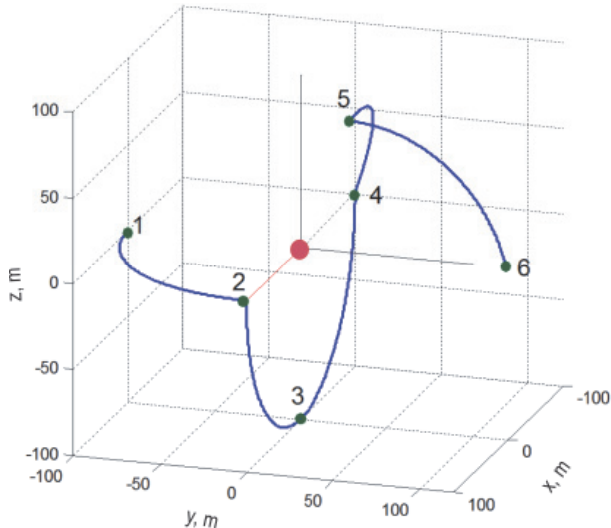
При j -ом перелёте КРМ вектор его требуемого расположения $\mathbf{s}^p(t)$ определяется углом $\gamma_j^p(t)$ в плоскости, заданной фиксированными углами α_j и β_j , и расстоянием $s_j^p(t)$ от цели. Угол $\gamma_j^p(t)$ изменяется от начального (initial) значения $\gamma_{ij}^p = \gamma_j^p(t_{ij})$ до конечного (final) значения $\gamma_{fj}^p = \gamma_j^p(t_{ij} + T_j)$, где T_j – длительность j -го перелёта. При этом расстояние $s_j^p(t)$ изменяется от начального значения $s_{ij}^p = s_j^p(t_{ij})$ до конечного $s_{fj}^p = s_j^p(t_{ij} + T_j)$. На рис. 3 представлена пространственная программная траектория перелётов КРМ в ОСК цели, полученная в компьютерной среде MatLab.

Для каждого j -го перелёта столбец $\mathbf{s}^p(t)$ координат центра масс КРМ с модулем $s^p(t)$ определяется в ОСК $O_t x_t^o y_t^o z_t^o$ цели с помощью ортогональной матрицы $\mathbf{Q}_j = [\alpha_j]_3^t [\beta_j]_1^t [\gamma_j^p(t)]_3^t$. При заданных краевых условиях

$$\gamma_{ij}^p, \gamma_{fj}^p; \dot{\gamma}_{ij}^p = \ddot{\gamma}_{ij}^p = 0; \dot{\gamma}_{fj}^p = \ddot{\gamma}_{fj}^p = 0;$$

$$s_{ij}^p, s_{fj}^p; \dot{s}_{ij}^p = \ddot{s}_{ij}^p = 0; \dot{s}_{fj}^p = \ddot{s}_{fj}^p = 0$$

назначаются сплайны второго порядка $\gamma_j^p(t)$ и $s_j^p(t)$ с ограниченными первыми $\dot{\gamma}_j^p(t)$, $\dot{s}_j^p(t)$ и вторыми $\ddot{\gamma}_j^p(t)$, $\ddot{s}_j^p(t)$ производными по времени, что позволяет по явным соотношениям вычислить векторы программных как поступательных, так и угловых перемещений, скоростей и ускорений КРМ относительно ОСК цели. Эти векторы сначала представляются в ИСК, к ним добавляются соответствующие кинематические параметры движения цели и также по явным соотношениям вычисляются векторы координат, скорости и ускорения КРМ в ИСК. Наконец, с помощью стандартного обратного кинематического преобразования искомые законы наведения робота представляются в его ССК $O_r xyz$ в виде программных значений векторов расположения $\Delta\mathbf{r}^p(t) = -\mathbf{s}^p(t)$, скорости $\Delta\mathbf{v}^p = \{\Delta v_i^p\}$ и ускорения $\mathbf{w}^p = \{w_i^p\}$ в его поступательном

**Рис. 3.** Программная траектория перелётов КРМ

движении, а также программных изменений кватерниона Λ^p , вектора модифицированных параметров Родрига $\sigma = \{\sigma_i\}$, векторов угловой скорости $\omega^p = \{\omega_i^p\}$ и углового ускорения $\epsilon^p = \{\epsilon_i^p\}$ робота.

Изменения вектора $\mathbf{s}^p(t) = \{s_i^p(t)\}$ дальности полюса КРМ O_r от цели и его модуля $s^p(t)$ приведены на рис. 4. Здесь легко убедиться, что наблюдение геостационарного спутника из пятой точки выполняется при дальности 80 м, а наблюдение из шестой точки – с расстояния 120 м.

Рис. 5 представляет изменения вектора $\Delta\mathbf{v}^p = \{\Delta v_i^p\}$ программной скорости поступательного движения КРМ, где компоненты Δv_i^p этого вектора по оси $O_r x$ ССК робота ($i = 1$) отмечены синим цветом, по оси $O_r y$ ($i = 2$) – зелёным и по оси $O_r z$ ($i = 3$) – красным цветом. С применением такой же цветовой разметки на рис. 6 и 7 представлены изменения программных значений вектора модифицированных параметров Родрига $\sigma = \{\sigma_i\}$ и вектора угловой скорости $\omega^p = \{\omega_i^p\}$.

АНАЛИЗ ТОЧНОСТИ СУД РОБОТА ПРИ ОБЗОРЕ СОСТОЯНИЯ СПУТНИКА

Как и в [1], при анализе точности поступательного перемещения КРМ используется вектор рассогласования $\delta\Delta\mathbf{r}_i = \{\delta\Delta r_i\} = \Delta\mathbf{r}^p(t) - \Delta\mathbf{r}(t)$ между программной разностью $\Delta\mathbf{r}^p(t)$ и фактической разностью $\Delta\mathbf{r}(t)$ расположений полюсов цели O_t и робота O_r . При заданном в ИСК программном угловом движении КРМ (законе наведения) $\Lambda^p(t), \omega^p(t)$ погрешность ориентации КРМ определяется кватернионом $\mathbf{E} = (e_0, \mathbf{e}) = \hat{\Lambda}^p \circ \Lambda$, вектором Эйлера $\mathbf{E} = \{e_0, \mathbf{e}\}$, где вектор

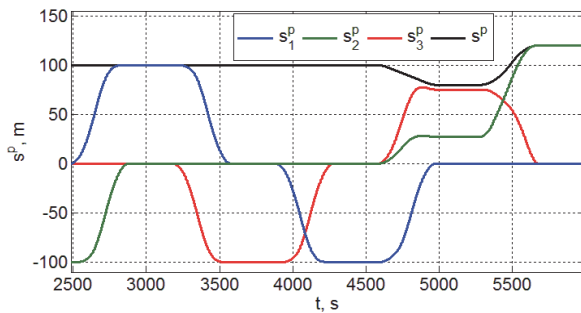


Рис. 4. Программная дальность КРМ от цели

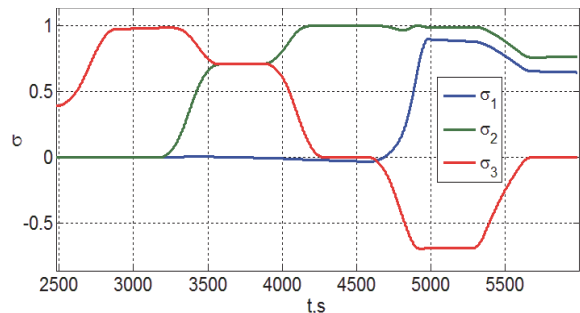


Рис. 6. Модифицированные параметры Родрига

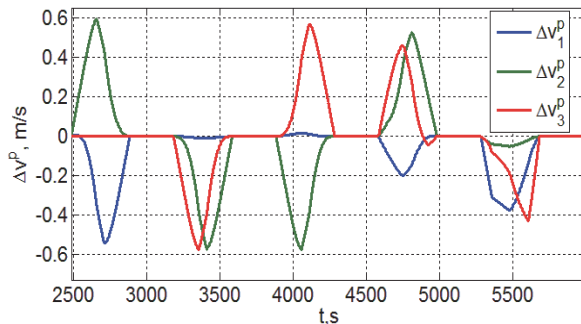


Рис. 5. Вектор программной линейной скорости

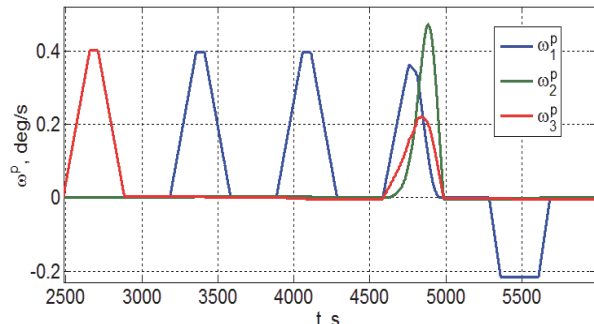


Рис. 7. Вектор программной угловой скорости

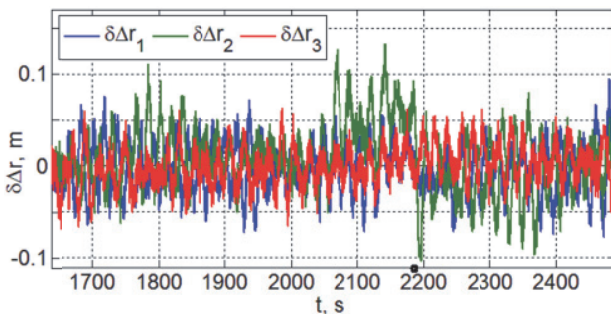


Рис. 8. Рассогласования в расположении КРМ

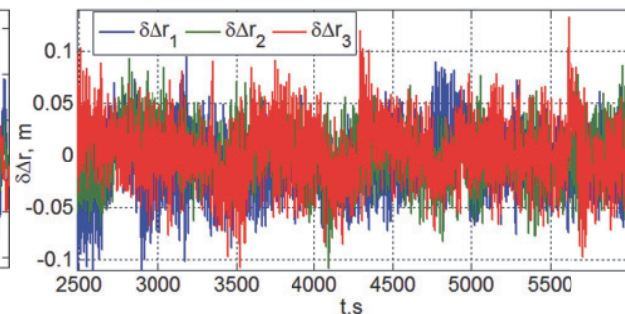


Рис. 10. Рассогласования в расположении КРМ

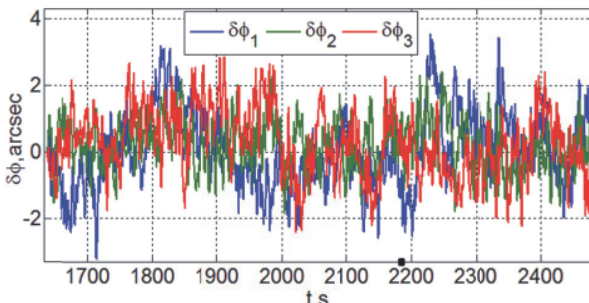


Рис. 9. Ошибки угловой стабилизации КРМ

$\mathbf{e} = \{e_i\}$, матрицей $\mathbf{C}^e(\mathbf{E}) = \mathbf{I}_3 - 2[\mathbf{e} \times] \mathbf{Q}_e^t$, где $\mathbf{Q}_e = \mathbf{I}_3 e_0 + [\mathbf{e} \times]$ и вектором ошибки ориентации $\delta\phi = \{\delta\phi_i\} = \{2e_0 e_i\}$, а погрешность стабилизации угловой скорости вычисляется по формуле $\delta\omega = \{\delta\omega_i\} = \omega - \mathbf{C}^e \omega^p(t)$.

На последующих рисунках кратко приводятся результаты нелинейного анализа точности системы управления движением КРМ, полученные методами компьютерной имитации.

На рис. 8 представлены рассогласования $\delta\Delta r_i$ в расположении КРМ сначала прибли-

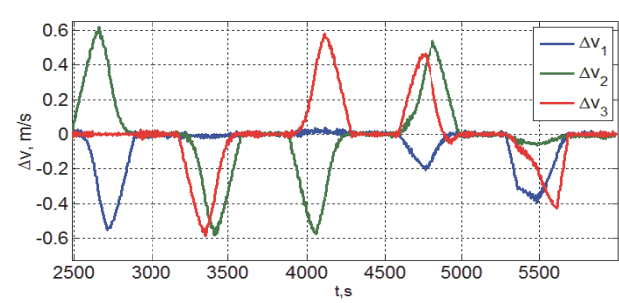


Рис. 11. Вектор скорости перемещения КРМ

жении КРМ массой $m = 3018$ кг с геостационарным спутником с начальной дальности 500 м до расстояния 100 м на интервале времени $t \in [1637, 2185]$ с длительностью 548 с, а затем в процессе наблюдения цели из первой точки в течение 300 секунд на интервале времени $t \in [2185, 2485]$ с, см. временную диаграмму перелётов КРМ и наблюдений состояния спутника на рис. 2 и программную траекторию перелётов КРМ на рис. 3, а на рис. 9. приведены ошибки $\delta\phi_i$ угловой стабилизации КРМ на

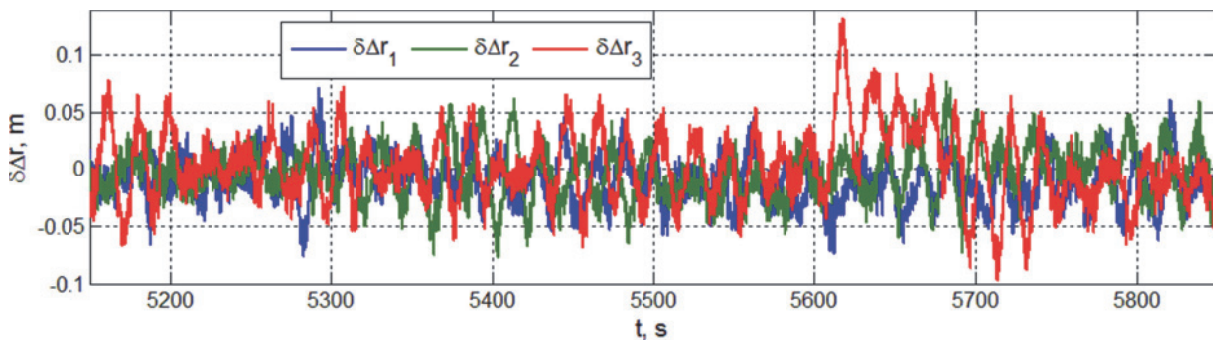


Рис. 12. Рассогласования в расположении КРМ при последнем перелёте и наблюдении

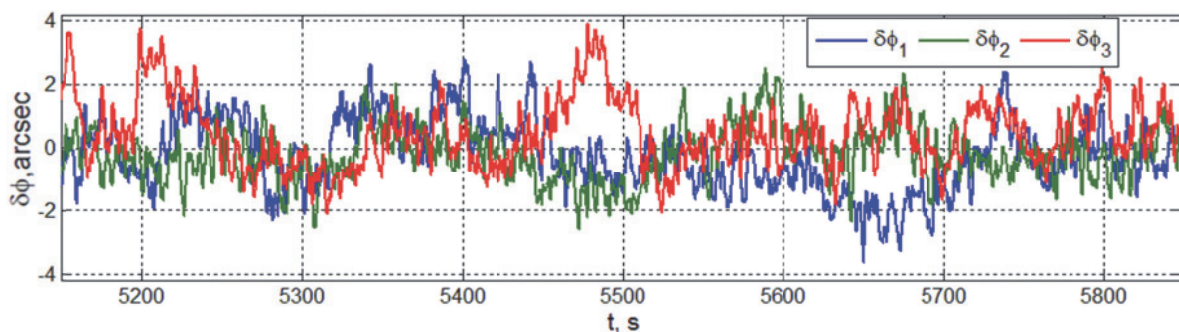


Рис. 13. Погрешности угловой стабилизации КРМ при последнем перелёте и наблюдении

интервале времени $t \in [1637, 2485]$ с при выполнении тех же манёвров сближения и наблюдения. При этом момент времени $t = 2185$ с на рис. 8 и 9 отмечен точкой на оси абсцисс.

На рис. 10 и 11 представлены рассогласования в расположении КРМ и компоненты вектора $\Delta v = \{\Delta v_i\}$ фактической скорости его поступательного перемещения при перелётах КРМ и последовательном наблюдении состояния цели из точек 2 ÷ 6, см. также рис. 2 и 3.

Наконец, рис. 12 и 13 в удобном масштабе представляют рассогласования в расположении и погрешности угловой стабилизации КРМ при последнем перелёте и наблюдении состояния геостационарного спутника из шестой точки.

Из представленных результатов следует, что при наблюдениях состояния цели достигается точность не хуже 0.05 м по компонентам вектора расположения КРМ и не хуже 2 угл. сек по компонентам вектора погрешности его ориентации. Расчеты показывают, что на таких участках при частоте съемки 60 кадров/сек, фокусном расстоянии объектива 0.3 м и размере пикселя 9 мкм, изображение будет четким: смаз изображения составит не более 0.023 пикселя в любой точке кадра.

ЗАКЛЮЧЕНИЕ

Представлены разработанные алгоритмы наведения космического робота для облёта геостационарного спутника с последовательным наблюдением его состояния из 6 точек с задан-

ного расстояния. В рамках принятого уровня моделирования КРМ выполнен анализ динамики системы управления движением робота при таком облёте, приведены численные результаты, демонстрирующие эффективность разработанных алгоритмов наведения и управления.

Отметим, что в алгоритмах широтно-импульсного управления реактивной двигательной установкой и цифрового управления силовом гироскопическим кластером применяются только позиционные векторные рассогласования, информация о рассогласованиях в скоростях поступательного и вращательного движений робота и геостационарного спутника не используется, этот факт значительно упрощает бортовую реализацию измерительных средств системы управления движением робота. Отмеченные алгоритмы подробно представлены в работах [2, 3].

СПИСОК ЛИТЕРАТУРЫ

- Сомов Е.И., Бутырин С.А., Сомов С.Е., Сомова Т.Е. Вывод на орбиту и сближение космического робота с геостационарным спутником // Известия Самарского научного центра РАН. 2020. Том 22. № 2. С. 124–131.
- Сомов Е.И., Бутырин С.А. Наведение и управление движением свободнолетающего робота при завершении сближения с пассивным объектом в дальнем космосе // Известия Самарского научного центра РАН. 2017. Том 19, № 4. С. 81–90.
- Somov Ye., Butyrin S., Somov S. Guidance, navigation and control of a free-flying robot during its rendezvous with a passive space vehicle // Mathematics in Engineering, Science and Aerospace. 2018. Vol. 9. No 3. P. 387-396.

GUIDANCE AND CONTROL OF A SPACE ROBOT DURING VISUAL INSPECTION OF THE GEOSTATIONARY SATELLITE STATE

© 2020 Ye.I. Somov^{1,2}, S.A. Butyrin^{1,2}, S.Ye. Somov^{1,2}, T.Ye. Somova²

¹ Samara Federal Research Centre, Russian Academy of Sciences

² Samara State Technical University

We are considering the problems on guidance and control for a space robot during visual checking the state of an information geostationary satellite. The robot motion control system uses a propulsion unit with 8 jet engines and pulse-width modulation of their thrust, and also a gyro moment cluster based on 4 gyrodines with digital control. Numerical results are presented that demonstrate the effectiveness of the developed guidance and control algorithms.

Key words: a space robot, geostationary satellite, a monitoring of state, guidance, control

DOI: 10.37313/1990-5378-2020-22-2-132-137

Yevgeny Somov, Leading Researcher of Department “Dynamics and Motion Control”, Samara Federal Research Centre, Russian Academy of Sciences; Head of Department for “Navigation, Guidance, and Motion Control”, Research Institute for Problems of Mechanical Systems Reliability, Samara State Technical University. E-mail e_somov@mail.ru
Sergey Butyrin, Senior Researcher of Department “Dynamics and Motion Control”, Samara Federal Research Centre, Russian Academy of Sciences; Head of Laboratory for “Modeling of Control Systems”, Research Institute for Problems of Mechanical Systems Reliability, Samara State

Technical University. E-mail butyrinsa@mail.ru

Sergey Somov, Researcher of Department “Dynamics and Motion Control”, Samara Federal Research Centre, Russian Academy of Sciences; Researcher of Department “Navigation, Guidance, and Motion Control”, Research Institute for Problems of Mechanical Systems Reliability, Samara State Technical University. E-mail s_somov@mail.ru

Tatyana Somova, Researcher of Department “Navigation, guidance, and Motion Control”, Research Institute for Problems of Mechanical Systems Reliability, Samara State Technical University. E-mail te_somova@mail.ru